

環境汚染の予測制御におけるGMDHの応用

大阪府生活環境部 正会員 厚井 弘志, 同 非会員 藤田 真一

1. はじめに

我が国においては、1960年代に高度成長の時代として公害問題が深刻化し、このため各種公害の対策が講じられ始めた。1970年代以降、この様々な対策の効果が表山へといた時期であった。1980年代においてはこの様々な対策的な公害対策にとどまらず、予見的・科学的な観察に基づく環境汚染、事故防止、環境資源の適切な利用、及び生活空間としての環境の保全をも含む大規模な環境創造等、新たな視点に基づく環境対策が要求され始めた。このためには、環境の特性を踏まえ各種の施策の効果や環境の利用に伴う環境への影響等の予測を行い、環境を適切に制御する方策を導くシステムを確立する必要がある。この様な環境管理システムの確立に際して、複数の環境現象の構造を解析し、予測を行うシステムが不可欠である。この点、多くの解析予測の手法が提案されてきたが、ここでは特に、予測のための数学モデルについて考察する。

環境現象の予測を行う数学的手法は、環境現象の物理的・化学的特性を考慮した決定論的な方程式によるモデル化を行う手法と、環境現象の測定データの特性に基づいてモデルを構成する統計的手法とに大別される。環境現象の挙動は、一概に非常に複雑であり、その構造等がよく知らないのが大半である。この点、決定論的なモデル化が可能なケースは少ない。また、統計的な予測モデルを作成する際にも、系の非線形性を考慮しなければならない場合が多い。然し、本稿においては、複雑な系の同定に威力を發揮する手法であるGMDHを用いた環境現象の予測モデルに関する筆者らの開発した例について概要を述べる。

第2章でIF、GMDHの概要を説明し、第3章では光化学スモッグの予測制御システムについて述べ、第4章においては、大阪湾における化學的酸素要求量(COD)濃度分布予測モデルについて、そして第5章においては、ラジオサットルSSデータを用いた環境現象予測手法について説明し、最後に第6章においてモデルへの問題点、及び今後の発展方向について考察する。

2. 改良型GMDHの概要¹⁾

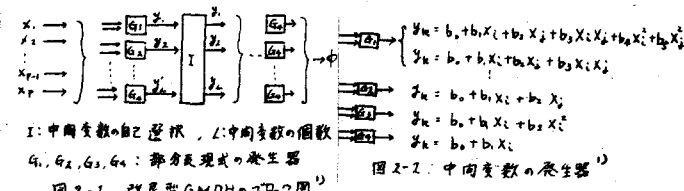
GMDH IFソリューションのA.G.Ivakhnenko²⁾等によると、開発された入出力データの關係から自己組織的に複雑な系のモデルリングを行う手法である。初期のGMDHは①変数をモデル作成のためのデータヒエアリングの為のデータに分割するため、その分割の仕方にモデルが依存する。②部分表現式を層ごとに重ね合わせて完全な表現式を作成する手法であり、部分表現式の形にモデルが依存する。③各層における、中间変数の選択個数にもモデルが依存する。等の問題点があり種々の改良がなされた³⁾⁴⁾。

近年、田村等により提案されており、最適な部分表現式の自己選択、中间変数の自己選択、多層構造の層の打ち切り等にAIIC(赤池の情報量標準)、又はPSS(予測平方和)を用いた改良型GMDHは、これらの問題点をかなりの程度解決するものである。従って、本稿ではモデル構造⁵⁾を、以下全2、この改良型GMDHを用いる。以下に、改良型GMDHの概要について説明する。

図2-1 及び図2-2 に改良型GMDHのアルゴリズムのプロセス図と最適な部分表現式の発生器の概念図を示す。

駆動器 $G_1 \sim G_4$ の内、どの駆動器を選択す

るかは、N個のデータ(4エッキングデータ)を



300は、N個のデータ(4エッキングデータ)

図2-1 改良型GMDHのプロセス図

図2-2 中間変数の発生器

トレイ＝データを分割(せん)して用ひ。

$$PS = \frac{1}{n} (\hat{\chi}_i - \bar{\chi})^2 / (1 - \hat{\chi}_i^T (\hat{\chi} \hat{\chi}^T)^{-1} \hat{\chi}_i)^2$$

また、
AIC = $N \log S_k^2 + 2(k+1) + C$

$$S_k^2 = \frac{1}{n} (\hat{\chi}_i - \bar{\chi})^2$$

k: 変数の個数

を選択基準として決定する。又、二つで中间変数と呼ばれるPS(又はAIC)の値の小さいものから、L個選択する。次には、このL個の中間変数を入力データとして、次の層へ移し、同様の手続をくり返す。部分表現式が產生器として、全てG4が選択された層において、計算は打ち切られる。

電子計算機を用ひ、改良型GMDHによる解析を行う場合のフローを図2-3に示す。

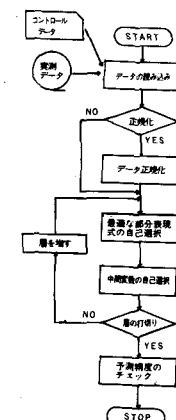


図2-3 改良型GMDHによる解析フロー

3. 光化学スモッグ短期予測と排出抑制システム⁽⁷⁾

3-1. 光化学スモッグ制御システムの概要

負荷が高く、日射量の多い区域におけるオキシゲントが高濃度となる現象は光化学スモッグとして古く知られており、大阪府においても、これに対処するため、図3-1に示すシステムにより、被害の抑制とともに予測を行なう。即ち、府下の42箇所測定局より毎10分にデータが入力される測定データを基にして予測判断を行なう。緊急時の発令は無線電波を通じて大気汚染工場、交通管制室へ削減交通規制措置を取る様に要請する。また、市町村公保健所等へ同時に無線により協力を要請を行う。光化学スモッグの発令及び解除は、オキシゲント濃度が上昇するか、下降するかを数時間前にして予測する必要がある。これには、豊富な経験と直観による知識が要求される。

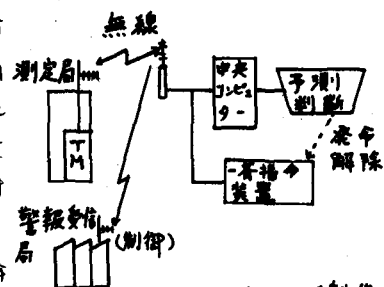


図3-1. 光化学スモッグ制御システム

表3-1 測定項目

1 二酸化硫黄	9 風速
2 浮遊粉じん	10 風向
3 一酸化窒素	11 湿度
4 二酸化窒素	12 湿度
5 一酸化炭素	13 日射量
6 オキシゲント	14 雨量
7 全炭化水素	15 交通量
8 非メタン炭化水素	

今回、開発した予測モデルは、二の様な光化学スモッグの緊急時ににおける判断を補助し、モニタリング→予測→判断→発令(解除)→排出抑制剤という緊急時の措置を効率良く、かつ速やかに行なうシステムの確立を目的としたものである。

3-2. 光化学スモッグ短期予測モデル

光化学スモッグの短期予測モデルには、反応拡散系のシミュレーションを行う決定論的モデルと測定データの時系列予測に基づく統計的モデル⁽⁸⁾⁽⁹⁾がある。前者は、発生源の環境濃度に与ぼす影響が分かれため、発生源規則の効果が予測モデル等へ長所を持つが、反面、計算に膨大な時間を要する等の短所があり、迅速性を要求される緊急時の際の予測に使用するには問題点が多い。そこで、実用的手法として統計的モデルを用ひることとした。光化学オキシゲントは複雑な反応の結果生じた二次汚染物質であり、季節変遷条件により変化する多くのモデルングに当たって非線形性を考慮すること、及び背景条件の分類、予測を行うことが重要となる。

従つて、二つでは背景条件(特に風条件)の数量化を組み込んだ改良型GMDHを用ひ、オキシゲント濃度予測を行うモデルについて述べる。

3-3. 改良型GMDHによる予測結果一算出し例

府下の測定局で測定している項目は表3-1のとおりである。予測に用ひるデータは、逐段階を考慮し

オンライン測定データ(1時間値データ)のみを用いた。実験における3時間程度先の予測を行う必要があるため、3時間先の予測モデルを作成することとした。

改良型GMDF法のテスト計算について。府下の内陸部の測定局を1局選ぶ。54年8月のデータを用いて予測計算を行った。最初、図データを東西方向成分と南北方向の成分に分割し、表3-3に示す1~10種類基準による評価基準とIAIを用いて改良型GMDF法により予測計算を行った。計算結果は、予測値と実測値との相関係数が0.88である。また、図3-2に示す様に予測期間において、高濃度領域での再現性が良好なことがわかった。光化層スモーク予測に必要なのは、オキシゲンの高濃度領域における予測精度が高いことである。

次節で、気象要素の数量化を考慮してモデルの改良を行う。

3-4. 改良型GMDF法による予測結果-数量化を組み込んだGMDF

モデルの改良には、次の項目を考慮した。

- ① 前節で用いたない、他の項目の追加
- ② 他のデータの使用
- ③ 船直気象測定局データの活用
- ④ 気象要素の数量化

表3-2 気象予測の各アイテムとカテゴリ						
アイテム	海側局の風向	海側局の風速	内陸局の風向	内陸局の風速	船直測定局(65m地点)の風向	船直測定局(65m地点)の風速
カ	N	0.5M/S以下	N	0.5M/S以下	N	0.5M/S以下
テ	W	0.5~1.5M/S	W	0.5~1.5M/S	W	0.5~1.5M/S
ゴ	S	1.5~2.5M/S	S	1.5~2.5M/S	S	1.5~2.5M/S
リ	E	2.5~3.5M/S	E	2.5~3.5M/S	E	2.5~3.5M/S
		3.5M/S以上		3.5M/S以上		3.5M/S以上

このため、風項目を表3-3に示すアイテム

をカテゴリに分類し、目的変数として3時間先のオキシゲンを用いて数量化工程によるオキシゲン予測計算を行った。予測結果であるオキシゲン濃度を新たに気象要素としてGMDFに組み入れて予測計算に使用する。数量化を組み入れたGMDFアルゴリズムにより予測モデルを作成した。GMDFによる予測計算には表3-1に示す項目を用いた。

図3-3に示すとおり、予測結果は高濃度の領域を正確に予測しており、又予測値と実測値の相関も0.92と非常に高い結果を得た。

次に、予測計算は大阪府公害監視センタ一の電算機ACOS 500を用いて行い、計算に要した

CPU時間は約1分20秒であった。同様の計算をPSSを評価基準とする改良型GMDF法により実行すれば約16分要した。予測精度は双方とも同様の結果となったため、実用的手法としてIAICを評価基準とする改良型GMDF法を用いることとした。

今回、1測定局を例として予測モデルの検討を行った好結果を得た。今後実用化に向けて他の測定局及び他の期間に対する予測モデルの検討を行っていく。

4. 大阪湾における化学的酸素要求量(COD)濃度分布予測モデル⁽¹²⁾

4-1. COD濃度分布予測モデル

大阪府では、図4-1に示す地点で毎月(1月、2月等は年2回)大阪湾の水質測定を行っている。大阪湾の水質を評価する上では、最も代表的な項目は化学的酸素要求量であり、図4-1に示すA,B,C各領域毎に環境

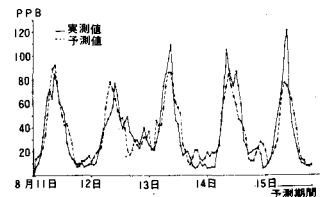


図3-2 オキシゲン 3時間先予測結果(単純予測)

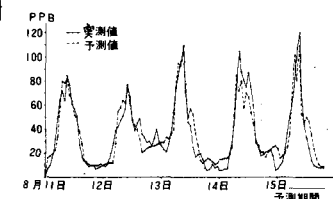


図3-3 オキシゲン 3時間先予測結果(数量化)

表3-3 3時間先予測に用いた項目

項目No.	項目名	項目No.	項目名
1	オキシゲン 3期遅Ox(t-3)	12	二酸化窒素 3期遅NO _x (t-3)
2	同 4期遅Ox(t-4)	13	日射量 3期遅S _h (t-3)
3	同 5期遅Ox(t-5)	14	日射量 4期遅S _h (t-4)
4	気温 3期遅T(t-3)	15	数量化I類子測結果g _v (t)
5	気温 4期遅T(t-4)	16	同 1期遅g _v (t-1)
6	気温 5期遅T(t-5)		
7	湿度 3期遅H(t-3)		
8	湿度 4期遅H(t-4)		
9	東西風 3期遅U(t-3)		
10	南北風 3期遅V(t-3)		
11	一酸化窒素 3期遅NO(t-3)		

基準が設定されていい。このため、CODの濃度分布を予測するモデルを作成するところが重要である。

通常、COD濃度分布の解析予測には、保存系の拡散シミュレーションによりCOD濃度分布を計算する手法が多く用いられる。この場合に(1)の計算値と実測値との回帰式は非常に勾配が多い場合がある（通常3~4）、(2)境界条件としてCOD濃度の実測値を用いると境界近傍のCOD計算値が高くなる。

(3)夏季と冬季で計算値は大差がないのに、実測値の場合は相違が大きい、等の問題点があり、このため富栄養化を考慮したモデルが幾つか提案されている。しかし、これらのモデルは反応沈殿泥濁溶出等に関するデータが必要であり、現時点においては、これらのデータは十分には得られていない。この様な富栄養化モデルを実用化するためには、CODの生成機構等に関する今後多くの調査と検討を行う必要がある。

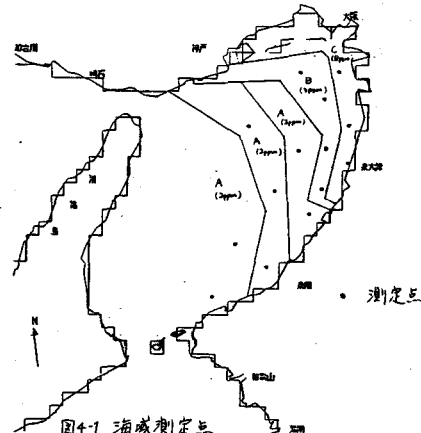


図4-1 海域測定点

今回提案するモデルは、保存系の拡散シミュレーションにより3層COD濃度計算を行ひ、更に3層COD濃度から環境基準が設定されていい酸性法にF3 COD濃度実測値への変換を改良型GMDHを用ひて行う手法である。

4-2. COD拡散シミュレーション

COD濃度分布の解析のフローは図4-2に示す様に、第一ステップで潮流計算を行ひ、次のステップでは潮流計算結果を用ひて保存系のCOD拡散計算を行う。COD計算結果は、3層COD実測値と高い相関を示す。最後のステップで各種の実測データと3層COD濃度からCOD濃度への変換を行う。以下に、モデルの概要について説明する。

(i) 潮流シミュレーション

潮流計算は、ナバエストークス方程式を2次元2層に変換したレベルモデルを使用した。シミュレーションはAD法を用ひて行ひ、Tが潮流、恒流とも良好な結果を得た。¹²⁾

(ii) COD拡散シミュレーション

第一ステップで求めた潮流計算結果を用ひて、2次元2層のCOD保存系拡散計算を行ひた。開放端の境界条件として、 $(\frac{\partial C}{\partial n} = \alpha C_i)$ 、 C_i は上層における濃度、 α は係数（値：0.9）を用ひ、閉鎖端における $(\frac{\partial C}{\partial n} = 0)$ 。

図4-3に示す様に、拡散計算結果と3層COD実測値との相関は、相関係数0.92と高く、手回帰式の勾配も1.22と1に近い良い値となつた。次に、3層COD濃度への変換について述べる。

4-3. 改良型GMDHによるCOD濃度解析モデル

CODは、海域において生物化学的反応、底質からの溶出等により増加し、また沈降・浮化等により減少する。このため、COD生産機構を解析するモデルとして、複雑な生態系モデルが必要である。ニニエイ、Ontario湖にF3 COD濃度解析モデル¹³⁾に習ひ、改良型GMDHを用ひてモデルを作成を行ひた。

3層CODからCOD濃度（酸性法）への変換モデルは、従つて次の点を考慮して構築することとした。

① 将来予測に用ひれる様に、予測が容易に行える項目の4を用ひた。

② 生態系モデルを網に内包するようにモデルを作成する。

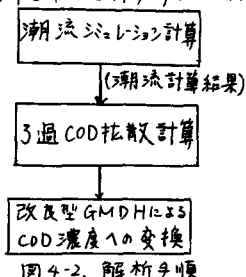


図4-2. 解析手順

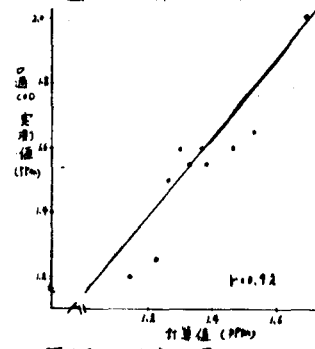


図4-3. COD拡散結果

③ 大阪湾の沿岸島々同時に変換できるモデルとする。

以上の点を考慮して、解析を行った。解析に用いたデータ項目及び結果の一例を次に示す。

```

R02 = - 0.00005 + 1.00001 * X06          X01:水深(m)      X05:DD(ppm)
W06 = - 0.02924 + 0.54188 * Y05      + 0.44586 * Y07      X02:水温(度)      X06:SD(ppm)
Y05 = + 1.00000 * #003                  X03:透明度(m)    X07:溶解(%)
V07 = - 0.00013 + 1.00003 * U07      X04:PH
U03 = - 0.15042 + 0.60502 * Z03      + 0.43482 * Z07      X01:水深(m)      X05:DD(ppm)
U07 = - 0.84518 + 1.39201 * Z05      + 0.15329 * Z02*Z05- 0.19032 * Z05**2      X02:水温(度)      X06:SD(ppm)
Z02 = - 0.18275 + 0.82080 * Y01      + 0.13016 * Y01*Y03- 0.09710 * Y01**2      X03:透明度(m)    X07:溶解(%)
Z03 = - 0.36024 - 0.51365 * Y03      + 1.67643 * Y07 + 0.35957 * Y03*Y07 - 0.35390 * Y07**2      X04:PH
Z05 = - 1.55233 + 0.14101 * Y03*Y05      X01:水深(m)      X05:DD(ppm)
Z07 = - 0.71998 + 0.70998 * Y02      + 0.42044 * Y06      X02:水温(度)      X06:SD(ppm)
Y01 = - 1.81590 - 0.82055 * X03      + 3.19213 * X06 - 0.26897 * X03*X06 + 0.10376 * X03**2 - 0.31981 * X06**2      X03:透明度(m)    X07:溶解(%)
Y02 = - 25.40057 + 3.97280 * X04      - 0.25889 * X03*X04+ 0.18775 * X03*X02      X04:PH
Y03 = - 8.49385 - 0.29935 * X02      - 1.80045 * X03 - 0.01593 * X02*X03 + 0.01167 * X02**2 - 0.18076 * X03**2      X05:DD(ppm)
Y05 = - 34.97954 + 4.31027 * X04      + 0.01481 * X06 - 0.92356 * X04*X06      X06:SD(ppm)
Y06 = - 0.02077 + 2.39045 * X06      - 0.19901 * X06**2      X07:溶解(%)
Y07 = - 63.40869 + 3.95549 * X04      + 2.75209 * X07 - 0.05363 * X07**2

```

二二二、計算値と実測値との相関は、0.89となる。

CODの算出に、物質拡散し、かつ反応・沈降・溶出等、F₁リ変化する物質を予測する場合、Y₁は成膜率があらかじめ既知であり、それらに関するデータも豊富な際には、反応拡散モデルによりシミュレーションするのが最適である。しかし、正確な情報が少ない場合には、今回の様に段階毎にY₁の予測精度を確かめつつ、解析を行っていかが望ましい方法と考えられる。

5. ランドサットMSSデータを用いた環境騒音予測モデル

5-1. 環境騒音予測モデル

環境騒音は、不特定多数の音源（車、工場等）にF₁リ構成されおり、モビリティ等の遙へい物により反射回折するため、その予測に際しては音源、地域特性等に関する情報を得る必要がある。

環境騒音の予測モデルには既に筆者らにF₁、2、開発したモデルがある。⁽¹⁾⁽²⁾ このモデルは次の要件を満たすものである。

①音源データについては、行政管理庁標準メッシュをベースとした、距離を重量ファイル、細街路ファイル、義務別工場面積ファイル等を用いる。

②EPAモデル⁽²⁰⁾を基本とし、対象メッシュ内における4等分区の音源が分布しているものとする。

③音源の分布の将来予測には、政策シミュレーション、上位計画との整合性からあらわす様システム⁽²¹⁾によるicusモデルを連結させて、

④騒音の伝播係数を定めるに当たる、地域特性を考慮するためメッシュ毎の建物面積率を用いて遙へい率の効果を取り入れた。

上記④の伝播係数を広域的、経済的に得るシステムの確立を目的として、ランドサットMSSデータをF₁、重回帰分析を用いて建物面積率を推測し、環境騒音の予測を行う手法を開発した。⁽²²⁾

本稿では、さきに改良型GMDFを用いたランドサットMSSデータから建物面積率と道路面積率を推測し、Y₁にF₁リ伝播係数を求め、環境騒音の分布を計算するモデルについて述べる。

5-2. 改良型GMDFによるランドサットデータ解析

ランドサットMSSデータはバンド4(0.5~0.6μm)、バンド5(0.6~0.7μm)、バンド6(0.7~0.8μm)及びバンド7(0.8~1.1μm)の4つのバンドからなり、分解能は約80m程度である。

図5-1に改良型GMDFを用いた解析の概要を示す。4つのバンドに強度データと各々のバンド強度の逆数データを入力データとして、航空写真判読による建物面積率と人工構造物率(建物面積率+道路面積率)データを基にして解析計算を行った。なお、

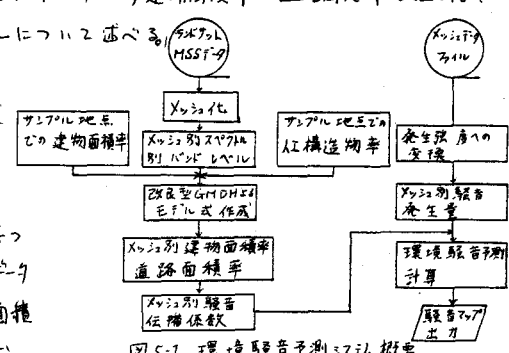


図5-1. 環境騒音予測システム概要

人工衛星データと航空写真による 1981 年 9 月のデータを用いた。

PSS を評価基準とする GMDH を用いた、実測値と計算値の相関は人工構造物率（建物面積率 + 道路面積率）では 0.96 と高く、建物面積率で 0.92 である。結果の一例を次に

人工構造物面積率

$$Y_{04} = +1.00000 * X_{06} \\ Y_{06} = -0.04237 * X_{02} + 0.61871 * X_{08} + 0.50636 * X_{02} * X_{08} - 0.13154 * X_{08}^2$$

建物面積率

$$Y_{02} = +0.50226 * X_{02} + 0.50444 * X_{07} \\ Y_{02} = 0.43551 + 1.59604 * X_{03} + 2.53505 * X_{08} - 0.43561 * X_{08}^2 \\ Y_{07} = -0.50893 - 0.40321 * X_{03} - 1.55664 * X_{06} + 0.40809 * X_{03} * X_{06} + 0.07235 * X_{03}^2 + 0.49398 * X_{06}^2$$

$$\text{ここで } X_{01}: \text{バンド } 4, X_{02}: \text{バンド } 5, X_{03}: \text{バンド } 6, X_{04}: \text{バンド } 7, X_{05}: 1/\text{バンド } 4, X_{06}: 1/\text{バンド } 5, X_{07}: 1/\text{バンド } 6, X_{08}: 1/\text{バンド } 7$$

5-3. ランドサット MSS データによる環境騒音予測結果

先に求めた、建物面積率及び道路面積率を用いた環境騒音予測計算結果を図 5-2 に示す。ランドサットによるリモートセンシングは経常的に広域のデータが容易に入手できるという利点を持つため、今後さらに広い分野での活用が期待できる。

ランドサット MSS データの解析に GMDH を用いた例は少ないが、判別分析等分類による方法と相俟って今後の発展が期待できる。但し今回の例においては、層は第一層で打ち切られてしまふが、入力データを適当に選べば線形の重回帰モデルでも同様の結果を得ることうが出来る。

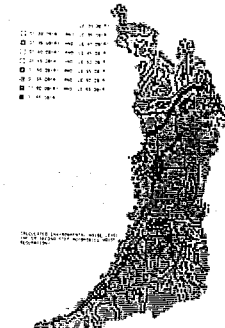


図 5-2. 大阪府域環境騒音マップ

6. おわりに

GMDH のようなデータベースモデルの適用についても、データ企画せにからなり様に十分な注意が必要である。ここでは、各々、①決定論的なモデルを適用する計算時間、コスト等の点で適さない。②決定論的な方法を適用するにはデータが十分でない。③系の性質そのものが決定論的な方法には制まらない等の性質をもつて対して改良型 GMDH の適用は有用であることを示した。今後、更にモデル改良及び、広い分野への応用を行っていく。

最後に、本研究の推進にあたり貴重な助言を賜り、大阪大学工学部田村助教授に深謝致します。

- (参考文献)
- (1) 田村近藤：最近の GMDH の方法論と应用、オペレーティン・リサーチ, P104/110, 1978 年 2 月
 - (2) A.O.Ivakhnenko: Polynomial Theory of Complex Systems; IEEE Trans., Syst., Man, Cybern., SMC-1-4, 364/378(1971)
 - (3) A.O.Ivakhnenko, et al: Long-Term Prediction of Random Processes by GMDH Algorithms Using the Unbiasedness Criterion and Balance-of-Variabilities Criterion; Part 1, Soviet Automatic Control, 7-4, 40/45(1974); Part 2, S.A.C., 8-7, 24/38(1975); Part 3, S.A.C., 9-2, 28/42 (1976); Part 4, S.A.C., 9-4, 16/27(1976)
 - (4) J.J.Duffy and M.A.Franklin: A Learning Identification Algorithm and Its Application to Environmental System; IEEE Trans., Syst., Man, Cybern., SMC-5-2, 226/240(1975)
 - (5) H.Tamura and T.Kondo: Large-Scale Pattern Identification of Air Pollution by A Combined Model of Source-Receptor Matrix and Revised GMDH; Proc. IFAC Sympo. on Environmental Systems Planning, Design and Control, 373/380, Kyoto(Aug, 1977)
 - (6) 田村近藤：複数量規従 AIC を用いた数値型 GMDH の回帰システムによる講演論文集(計測自動制御学会会議), 113/168 (1977)
 - (7) 藤田, 菊山, 正木: 大気汚染の短期予測 - オキシダントの予測手法を中心として - , 環境技術, Vol. 11, No. 3 (1982)
 - (8) 国本化: 多重ボックスモデルによる大気汚染シミュレーション-化学反応式汚染物質の解析, 大気汚染研究, Vol. 11, No. 1 (1976)
 - (9) Dong-Yuh Lin: Oxidant Prediction by Discriminant Analysis in The South Coast Air Basin of California Atmospheric Environment Vol. 16, No. 1 (1982)
 - (10) 横山, 広木, 美: 多重回帰分析法によるオキシダント濃度予測の試み, 公報, Vol. 11, No. 6 (1976)
 - (11) 古谷, 北川: 大気汚染予測における数量化の方法について, 大気汚染全般講演論文集 (1977)
 - (12) S.Fujita, et al: The Calculation of Pollution of Osaka Bay by A Combined Model of Finite Difference Methods and Revised GMDH (in preparation)
 - (13) 速水, 他: 海岸内湾における塩水の交換と物質拡散, 第 1 回海岸工学講演会論文集, 土木学会 (1977)
 - (14) 堀口, 他: 三次元モデルによる流れと拡散の数値解法について, 第 24 回沿岸工学講演会論文集, 土木学会 (1977)
 - (15) 田畠, 他: 富栄養化水域の水質シミュレーションについて, 環境創造, Vol. 7, No. 7 (1977)
 - (16) 環境省水質保全局: 水質変化予測基本調査報告書, 昭和 52 年 3 月
 - (17) H.Tamura and E.Halfon: Identification of A Dynamic Lake Model by The Group Method of Data Handling: An Application to Lake Ontario, Ecological Modelling, 11, 81/100 (1980)
 - (18) 関西, 厚生省: 騒音による環境汚染予測システムについて (1), 日音響学会講演論文集 (1981 年)
 - (19) 青井, 厚生省: 同上 (2), 日音響 (1981 年)
 - (20) 高木: 環境騒音の把握に関するいくつかの問題点とその考察, 環境技術, Vol. 8, No. 10 (1978)
 - (21) 厚井: 多地域 SD モデルによる環境情報の活用による道路騒音予測システムについて, 第 3 回土木学会土木計画学研究発表会 (1981)
 - (22) 厚井他: 騒音による環境汚染予測システムについて - ランドサットデータの活用, 日音響 (1981 年)
 - (23) K.Naito and S.Hanaki, et al: Correlation Studies between Landsat MSS Data and Population Density in Japan, ISP HiMBURG, 1980